

**ČESKÉ VYSOKÉ UČENÍ TECHNICKÉ V PRAZE**

---

Fakulta Elektrotechnická

Katedra Elektromagnetického pole

**Výpočet vícenásobné terénní difrakce metodou  
fyzikální optiky**

**Multiple Terrain Diffraction Calculation Using Physical  
Optics Method**

**Bakalářská práce**

**ABAP20**

Sudijní program: Komunikace, multimedia a elektronika

Studijní obor: Komunikační technika

Vedoucí práce: Ing. Pavel Valtr, Ph.D.

Vypracoval: Dolotin Dmitriy

**Praha 2018**



## **Prohlášení autora práce**

Prohlašuji, že jsem předloženou práci vypracoval samostatně a že jsem uvedl veškeré použité informační zdroje v souladu s Metodickým pokynem o dodržování etických principů při přípravě vysokoškolských závěrečných prací.

V Praze dne .....

.....

Podpis autora práce



## **Poděkování**

Chtěl bych poděkovat vedoucímu práce Ing. Pavlu Valtrovi, Ph.D. za odborné vedení při zpracování mého projektu a za konzultace k jejímu obsahu.



## **Abstrakt**

Práce se zabývá studiem možností výpočtu vícenásobné terénní difrakce. Dalším cílem je implementace metody fyzikální optiky, která slouží k hodnocení radiového spoje do prostředí MATLAB a následné porovnání dosažených výsledků s dvoupaprskovou metodou, metodou uniformní teorie difrakce, aproximačními metodami a experimentálně naměřenými hodnotami při šíření na reálném terénu.

## **Klíčová slova**

Difrakce, klínová překážka, uniformní teorie difrakce, UTD, fyzikální optika, Deygoutova metoda, Bullingtonova metoda, Japonská metoda, Epstein-Petersenova metoda, MATLAB





## **Abstract**

Focus of this thesis is studying different methods for multiple edge diffraction calculation. The next goal is to implement Physical optics, which is used to predict field-strength for wireless systems to MATLAB environment and then compare simulated data with two-ray ground-reflection model, uniform theory of diffraction, terrain approximation methods and experimental data for propagation over real terrain.

## **Key words**

Diffraction, wedge obstacle, uniform theory of diffraction, UTD, physical optics, Deygout approximation, Bullington approximation, Japanese approximation, Epstein-Peterson approximation, MATLAB.



# Obsah

1 ÚVOD.....	1
2 TEORETICKÝ ROZBOR .....	1
2.1 Heygensův princip .....	1
2.2 Difrakce na ostrém břítu.....	2
2.3 Fresnelův elipsoid .....	3
2.4 Difrakční útlum .....	3
2.5 ozemní dvoupaprskový model šíření.....	6
3 ZÁKLADNÍ MODELY A METODY PRO VÝPOČET VÍCENÁSOBNÉ DIFRAKCE.....	7
3.1 Unifromní teorie difrakce .....	7
3.2 Aproximační metody .....	12
3.2.1 Deygoutova metoda .....	12
3.2.2 Bullingtonova metoda.....	13
3.2.3 Epstein-Petersonova metoda .....	14
3.2.4 Japonská metoda .....	15
3.3 Fyzikální optika .....	17
3.4 Porovnání s UTD .....	20
3.5 Porovnání s dvoupaprskovým modelem .....	22
3.6 Porovnání s měřením.....	26
4. ZÁVĚR .....	29
5. SEZNAM POUŽITÉ LITERATURY .....	30
6. SEZNAM OBRÁZKŮ.....	31





# 1 Úvod

Fyzikální optika nebo tzv. Fresnel-Kirchhoffův terém se často používá pro predikci šíření vln nad reálným terénem. Nevýhodou metody je časová náročnost, ale spolu s účinně navrženým způsobem numerické integrace může být efektivně použita pro návrh bezdrátových spojů. Metoda se zejména používá v rozsahu VHF a UHF, ale obecně nemá žádné frekvenční omezení.

V rámci této práce se zaměřím na implementaci metody fyzikální optiky do prostředí MATLAB pro vyhodnocení difrakčních ztrát při šíření vlny nad zadaným reálným terénem. Nejprve si ověřím funkčnost metody porovnáním výsledků s jinými známými metodami jako například dvoupaprskový model šíření a uniformní teorie difrakce. Následně provedu porovnání dosažených hodnot a hodnot experimentálně naměřených.

V první části práce jsou teoreticky popsány základní vlastnosti šíření vlny v prostředí a je vysvětlen dvoupaprskový model. Dále je vypracován přehled základních metod pro výpočet ztrát způsobených vícenásobnou difrakcí. V této kapitole jsou popsány jednotlivé principy, vztahy pro výpočet a podmínky použití.

Další část práce se zabývá implementací dvoupaprskového modelu, UTD a fyzikální optiky do prostředí MATLAB. Je vysvětlena volba konkrétních parametrů potřebných pro výpočet. Poté následuje porovnání nejprve jednotlivých metod. Potom je uvedeno srovnání s naměřenými hodnotami na reálném terénu.

V závěru je hodnocení metody fyzikální optiky z hlediska přesnosti a časové náročnosti.

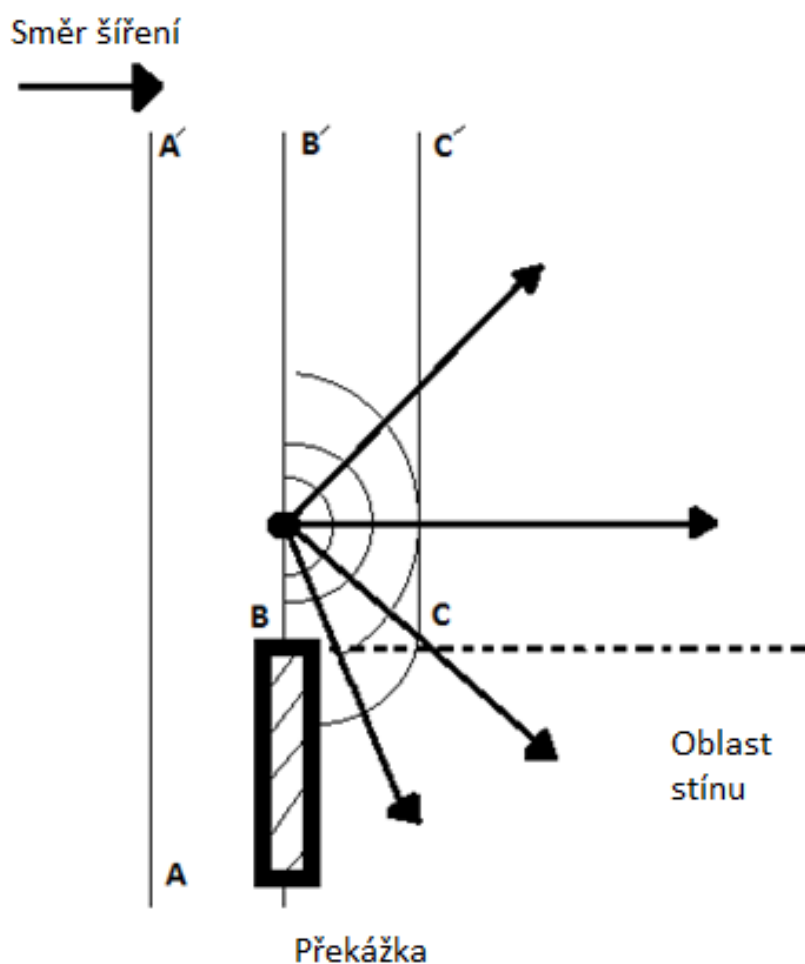
## 2 Teoretický rozbor

### 2.1 Huygensův princip

Huygensův princip, který lze odvodit z Maxwellových rovnic, pomáhá v případě když vlnoplocha narazí na relativně malou překážku. Tento princip říká, že v každém okamžiku lze každý bod vlnoplochy chápat jako nový zdroj sekundárního vlnění. Další vlna je dána vnější obálkou sekundárních vln, šířících se z těchto zdrojů, viz *Obr. 2.1*. [1][2]

## 2.2 Difrakce na ostrém břítu

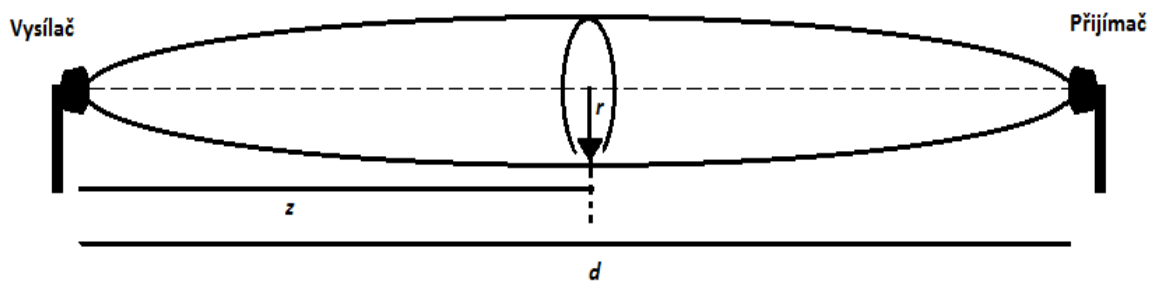
Nyní si představíme, že se vlna setkává z překážkou, viz *Obr. 2.1*. V souladu s optickou teorií paprsků se v oblasti stínu nesmí objevit elektromagnetické pole. Ale s využitím Huygensova principu se dá považovat, že vlnoplochy, které vznikají na přímce  $BB'$  se šíří i v oblasti stínu a jsou dané interferencí všech takto vzniklých vlnoploch. Je, který představuje ohyb radiovlnami překážek se nazývá difrakce. V případě, že jde o elementární případ difrakci na polovině, která dokonale absorbuje dopadající energii, jedná se o difrakci na ostrém břítu. [4] [3]



*Obr. 2.1 : Huygensův princip a difrakce na ostrém břítu.*

## 2.3 Fresnelův elipsoid

Fresnelův elipsoid nebo Fresnelova zóna je elipsa kruhového průřezu. Představuje prostor ve kterém se šíří elektromagnetické vlny od jedné antény ke druhé, viz Obr. 2.2. Obecně Fresnelova zóna může být n-tého řádu, ale většina energie se šíří v prvním řádu. Pokud první Fresnelova zóna není zastíněná překážkou, mluvíme o přímé radiové viditelnosti. [1]



Obr. 2.2 : Fresnelův elipsoid.

## 2.4 Difrakční útlum

Jedným z nejdůležitějších parametrů pro výpočet útlumu způsobeného difrakcí je míra zastínění přímé viditelnosti mezi vysílačem a přijímačem. Tento parametr je definován dle [1] takto:

$$\nu = h \sqrt{\frac{2(d_1 + d_2)}{\lambda d_1 d_2}} \quad (2.1)$$

nebo

$$\nu = \alpha \sqrt{\frac{2d_1 d_2}{\lambda(d_1 + d_2)}} \quad (2.2)$$

kde  $\lambda$  je vlnová délka,  $d_{1,2}$  jsou vzdálenosti vysílač - překážka, resp. překážka - přijímač,  $h$  je výška překážky, viz Obr. 2.3.

Parametr  $\nu$  může nabývat i záporných hodnot v případě že se překážka nachází pod spojnici Vysílač - Přijímač, viz Obr. 2.4.

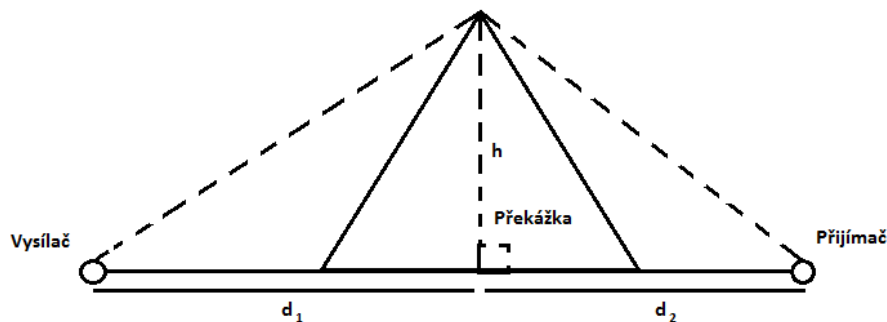


Výraz (2.3) má název Fresnelův komplexní integrál. Řešení je možné vyjádřit jako poměr intenzity pole  $E$  na vstupu přijímače když spoj je zastíněn překážkou a  $E_0$  v případě přímé viditelnosti:

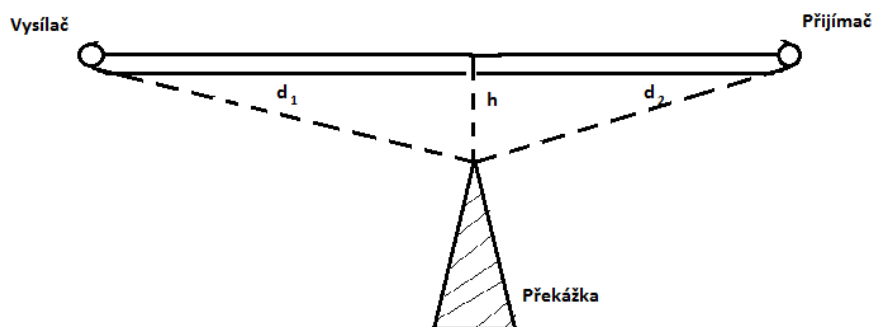
$$\frac{E}{E_0} = \frac{1+j}{2} \int_{\nu}^{\infty} e^{-j\frac{\pi}{2}s^2} ds \quad (2.3)$$

Pro  $\nu > -0,78$  tento integrál lze aproximovat kvadratickou funkcí (1.4), která bude velmi přesně reprezentovat závislost útlumu na parametru zastínění  $\nu$  [6], viz Obr. 2.6.

$$L(\nu) = 6,9 + 20 \log \left( \sqrt{(\nu - 0,1)^2 + 1} + \nu - 0,1 \right) [dB] \quad (2.4)$$

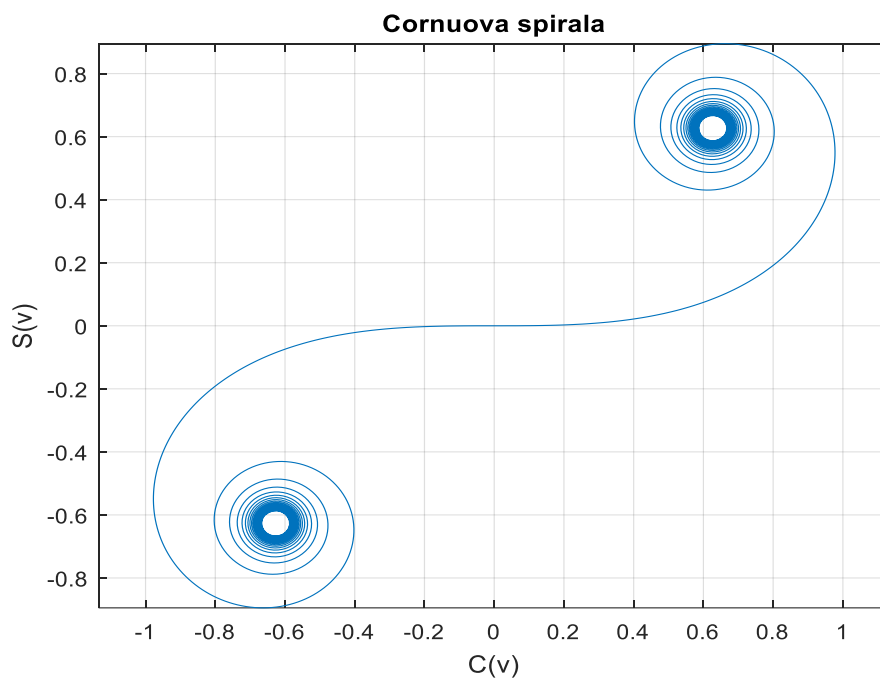


Obr. 2.3: Geometrie pro řešení difrakci na ostré překážce.

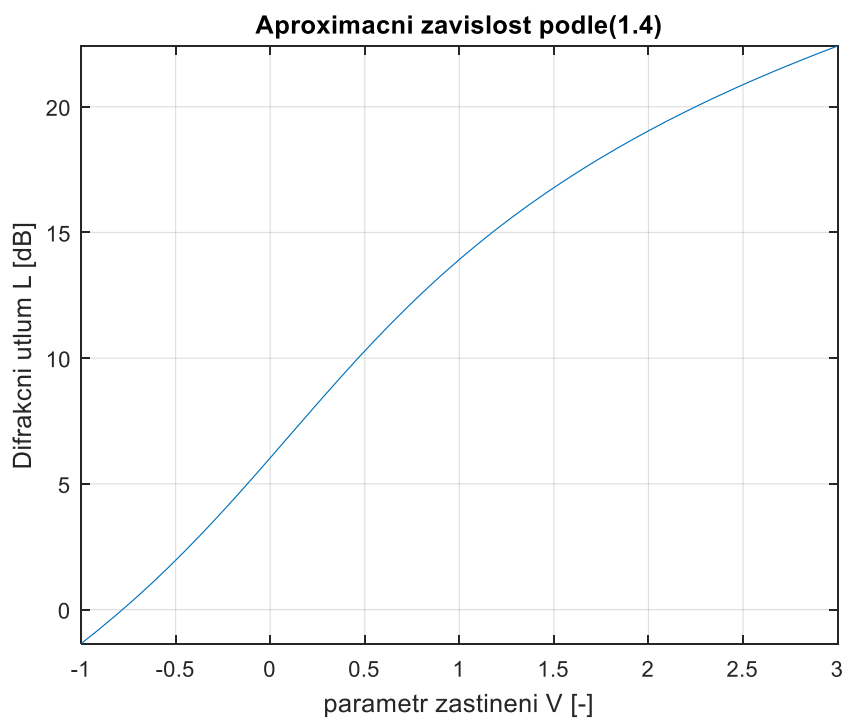


Obr. 2.4 : Překážka je pod spojnici vysílač – přijímač.

Řešit tento integrál je nutné buď graficky, ve výsledku dostaneme tzv. Cournoovu spirálu (viz Obr. 2.5) nebo numericky a to pomocí koeficientů Boersma nebo počítačově [7].



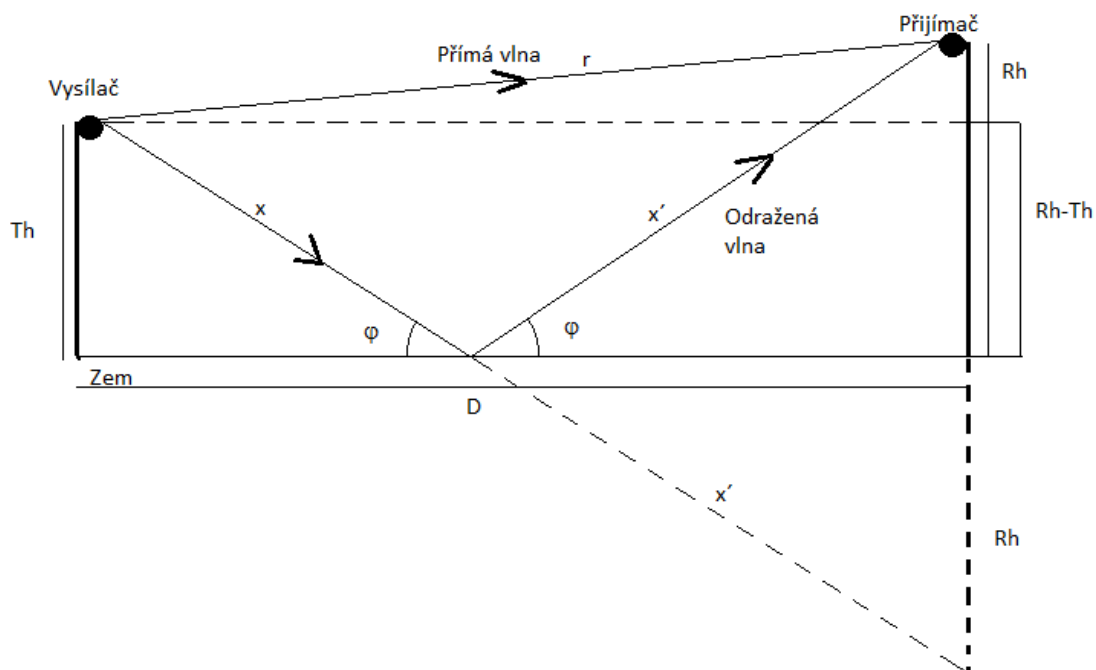
*Obr. 2.5 : Cornuova spirála.*



*Obr. 2.6 : Aproximační závislost.*

## 2.5 Pozemní dvoupaprskový model šíření

Pozemní dvou-paprskový model se používá pro predikci ztrát mezi vysílačem a přijímačem, které obecně mají libovolnou výšku. Základem metody je rozdělení šířící se vlny do dvou složek: přímá vlna a odražená.



Obr. 2.7 : Pozemní dvou-paprskový model.

Z Obr. 2.7 použitím jednoduchých trigonometrických vzorců lze odvodit délku dráhy odraženého (2.5) a přímého (2.6) paprsku.

$$x + x' = \sqrt{(T_h + R_h)^2 + D^2} \quad (2.5)$$

$$r = \sqrt{(T_h - R_h)^2 + D^2} \quad (2.6)$$

kde  $T_h$  - výška vysílače,  $R_h$  - výška přijímače a  $D$  - vzdálenost vysílač-přijímač.

### 3 Základní modely a metody pro výpočet vícenásobné difrakci

#### 3.1 Uniformní teorie difrakce

Problematika je znázorněná na *Obr. 3.1*. Dvourozměrný diagram překážky ve tvaru klínu s ideálně rovnými hranami. Konvenční označení hran je „o-face“ a „n-face“. Všechny úhly jsou změřené od hrany o-face. Vnitřní úhel klínu je dán jako  $(2-n)\pi$  a je menší než 180 stupňů.  $E_0$  je intenzita pole ve vrcholu klínu [5]. Výsledný vztah popisující pole v oblasti stínu je:

$$E^d(s) = E_0 \bar{D} A(s', s) e^{-jks} \quad (3)$$

kde  $\bar{D}$  reprezentuje dyadický difrakční koeficient dané překážky ve tvaru klínu.

Koeficient  $A$  popisuje změnu amplitudy podél difraktovaného paprsku a platí:

$$A(s', s) = \sqrt{\frac{s'}{s(s' + s)}} \quad (3.1)$$

Zóny v blízkosti oblasti stínu a odrazů ve kterých dochází k rychlým změnám pole se také nazývají přechodové zóny. Vzorec pro výpočet dyadického difrakčního koeficientu ideálně vodivé překážky tvaru klínu platný pro všechny možné polohy přijímače má tvar [4][5]:

$$D_{s,h} = \frac{-\exp\left(-\frac{j\pi}{4}\right)}{2n\sqrt{2\pi k s} \sin\beta} \left[ \cot\left(\frac{\pi + (\varphi - \varphi')}{2n}\right) F[kLa^+(\varphi - \varphi')] \right. \\ \left. + \cot\left(\frac{\pi - (\varphi - \varphi')}{2n}\right) F[kLa^-(\varphi - \varphi')] \right. \\ \left. \pm \left\{ \cot\left(\frac{\pi + (\varphi + \varphi')}{2n}\right) F[kLa^+(\varphi + \varphi')] \right. \right. \\ \left. \left. + \cot\left(\frac{\pi - (\varphi + \varphi')}{2n}\right) F[kLa^-(\varphi + \varphi')] \right\} \right] \quad (3.2)$$

kde

$$F(X) = 2j\sqrt{X} \exp(jX) \int_{\sqrt{X}}^{\infty} \exp(-j\tau^2) d\tau \quad (3.3)$$

$$a^{\pm}(\beta) = 2\cos^2\left(\frac{2n\pi N^{\pm} - \beta}{2}\right) \quad (3.4)$$

kde  $N^{\pm}$  jsou řešení rovnice zakrouhlená na celá čísla a uvažuje se pouze kladná hodnota kvadratického kořene [5].

$$2\pi n N^+ - \beta = \pi \quad (3.5)$$

$$2\pi n N^- - \beta = -\pi \quad (3.6)$$

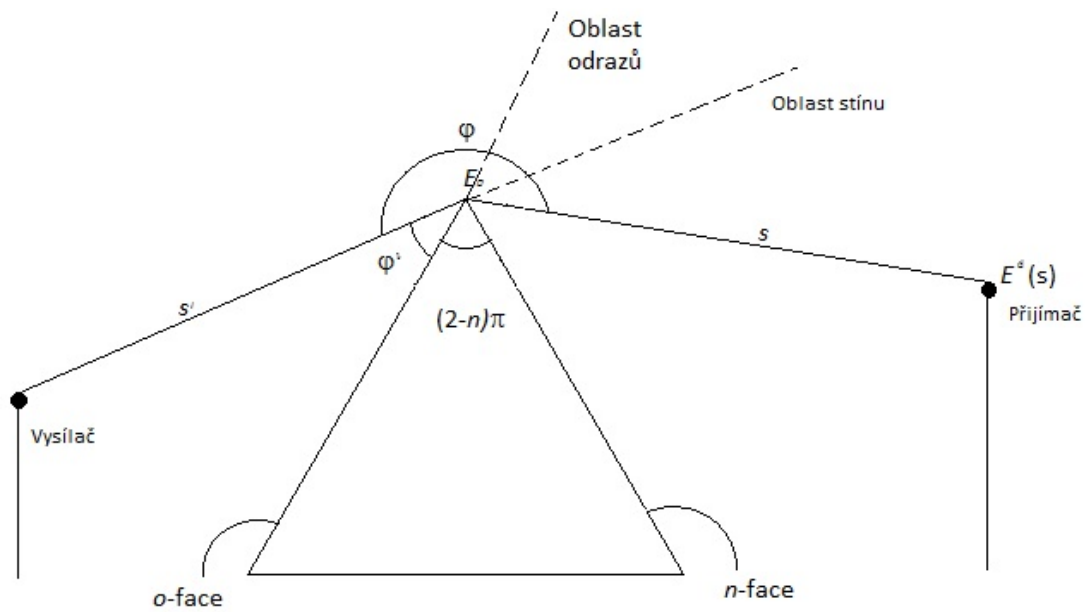
$$\beta = \varphi \pm \varphi' \quad (3.7)$$

Přechodovou funkci danou vztahem (3.3) lze pro zjednodušení budoucí implementaci do prostředí Matlab aproximovat jako:

$$F(X) = \left( \sqrt{\pi X} - 2X e^{-\frac{j\pi}{4}} - \frac{2X^2 e^{-\frac{j\pi}{4}}}{3} \right) e^{-j(X + \frac{\pi}{4})} \quad \text{pro } 0 \leq X \leq 0,3 \quad (3.8)$$

$$F(X) = 1 + \frac{j}{2X} - \frac{3}{4X^2} - \frac{15j}{8X^3} + \frac{75}{16X^4} \quad \text{pro } X > 5,5 \quad (3.9)$$

$$F(X) = F^*(|X|) \quad \text{pro } X < 0 \quad (3.10)$$



Obr.3.1 : Uniformní teorie difrakce

kde  $F^*$  je komplexně združená funkce. Pro  $0,3 \leq X \leq 5,5$  platí interpolační hodnoty:

$X$	$F(X)$
0.3	$0.5729 + j 0.2677$
0.5	$0.6768 + j 0.2682$
0.7	$0.7439 + j 0.2549$
1.0	$0.8095 + j 0.2322$
1.5	$0.8730 + j 0.1982$
2.3	$0.9240 + j 0.1577$
4.0	$0.9658 + j 0.1073$
5.5	$0.9797 + j 0.0828$

Tab.2.6.: Interpolační hodnoty přechodové funkce

Metoda UTD umožňuje také výpočet i v případě když oblast stínu a oblast odrazů jsou velmi blízko k sobě anebo když hranice obou je stejná přímka. Tento případ nastává, když

$\phi' = 0$  nebo  $n\pi = 0$  a když  $\phi' \approx n\pi/2$  a  $n \approx 1$ . Tyto hranice jsou reálné pro  $\phi' \in (0, n\pi)$ , jinak jsou imaginární [5].

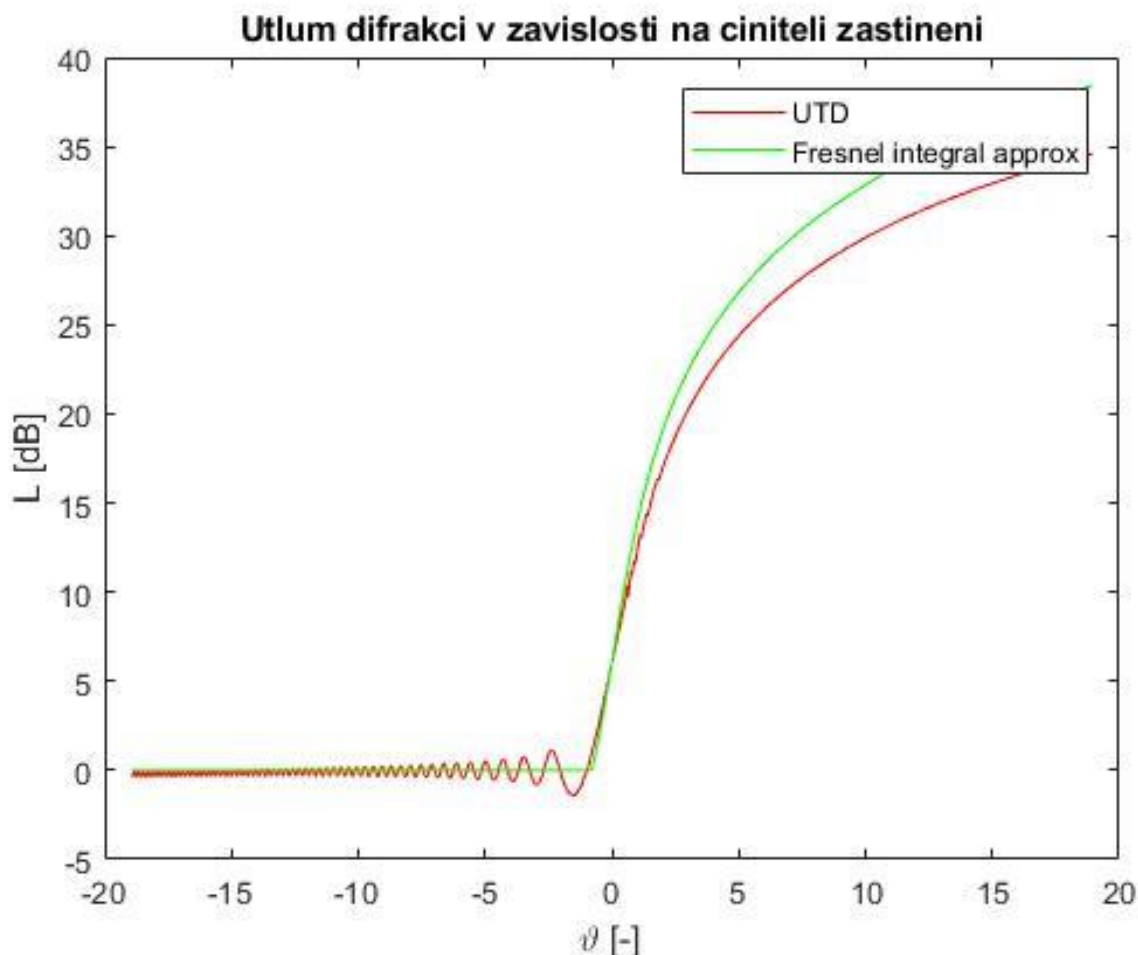
$L$  je parametr vzdálenosti určený pro daný typ vlnění:

$$L = s \sin^2 \beta_0 \quad \text{pro rovinnou vlnu} \quad (3.11)$$

$$L = \frac{rr'}{r + r'} \quad \text{pro kuželovitou vlnu} \quad (3.12)$$

$$L = \frac{ss'}{(s + s')} \sin^2 \beta_0 \quad \text{pro kulovou a válcovou vlnu} \quad (3.13)$$

Podle [5] pro přesný výpočet difrakčního parametru  $D$  je nutné aby  $kL > 1$  nebo  $kL > 3$  pokud  $n$  se blíží k 1.



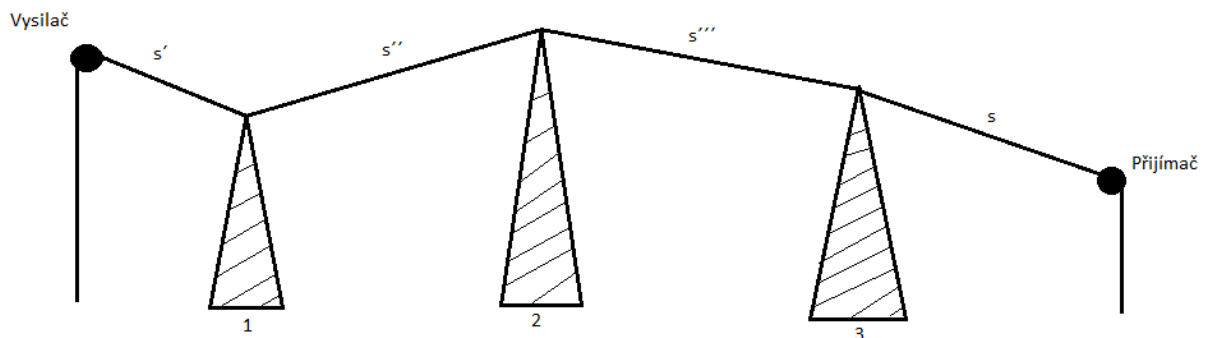
Obr. 3.2: Útlum difrakci v závislosti na činitele zastínění. Porovnání UTD a (1.4)

Jediný rozdíl ve vzorcích pro výpočet difrakčního koeficientu je vztah pro určení koeficientů  $A$ , které pro případ znázorněny na Obr. 3.3 bude mít tvar dle [8]:

$$A_{s_{12}} = \sqrt{\frac{S'}{S''(S' + S'')}} \quad (3.14)$$

$$A_{123} = \sqrt{\frac{S' + S''}{S'''(S' + S'' + S'''')}} \quad (3.15)$$

$$A_{123} = \sqrt{\frac{S' + S'' + S'''}{S(S' + S'' + S''' + S)}} \quad (3.16)$$



Obr. 3.3: Použití UTD pro výpočet terénní difrakce.

Vzorec (3.15) se také často nazývá dvojitá difrakce a (3.16) – trojitá [8].

Prvním krokem v implementaci dané metody pro výpočet vícenásobné difrakce je použít tzv. metodu „natažené struny“. Metoda spočívá v tom, že najdeme vrcholy terénu s největším činitelem zastínění. Tím se většinou omezíme pouze na několik překážek, které můžeme předpokládat za břitové.

Postup výpočtu je následující:

Použitím UTD metody spočítá se intenzita ve vrcholu druhé dominantní překážky, což zohlední vliv první překážky na celkový útlum. Potom si představíme, že ve vrcholu první překážky je vysílač a stejně pomocí UTD metody spočteme rozložení pole ve vrcholu třetí překážky. Identickým způsobem se postupuje do té doby, když se dostaneme do polohy přijímače.

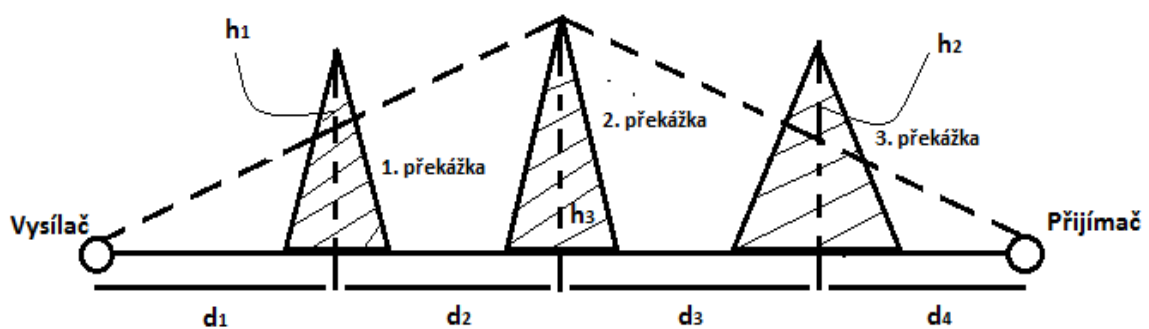


## 3.2 Aproximační metody

Některé z aproximačních metod jsou jednodušší, ale vykazují větší nepřesnosti, nebo naopak existují složitější metody s vysokou přesností. V této práci jsem se zaměřil na popis čtyř nejzákladnějších metod: Bullingtonova, Epstein-Petersonova, Japonská a Deygoutova. Každá z těchto metod vede přes několik kroků na případ pro jednoduchou difrakci s jednou překážkou [1]. Přesnost jednotlivých metod záleží na konkrétní situaci a tvaru terénu.

### 3.2.1 Deygoutova metoda

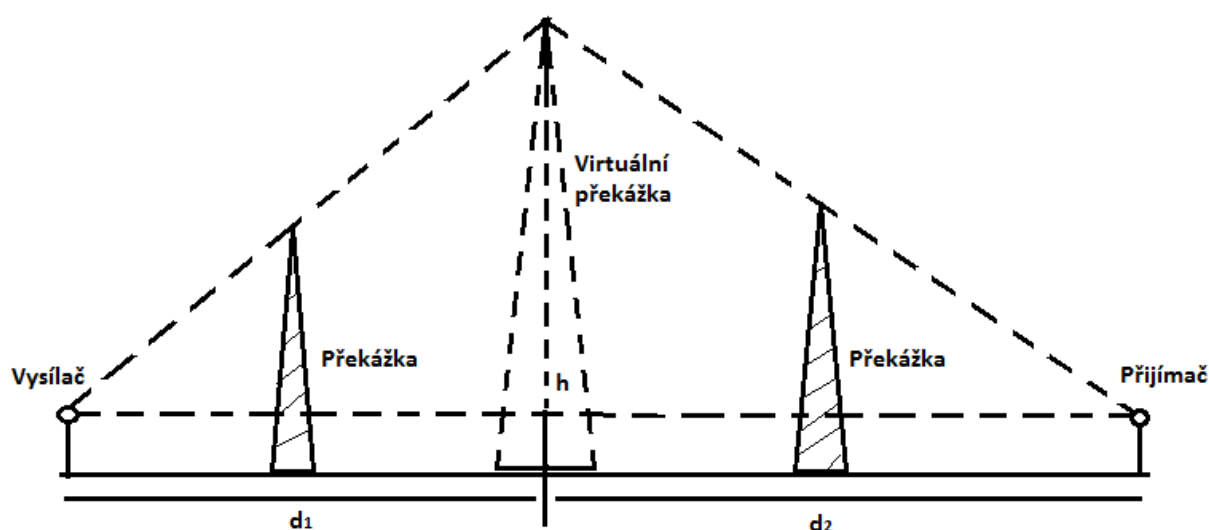
Deygoutova metoda (viz Obr. 3.4) nebo metoda hlavní překážky je jedna z nejpoužívanějších a nejpřesnějších metod. Zásadním principem této metody je v prvním kroce výpočet parametru  $\nu$  pro každou překážku zvlášť. Cílem je najít dominantní vrchol s maximálním parametrem zastínění. Dále jsou sestrojeny spojnice hlavní vrchol - přijímač a hlavní vrchol - vysílač. Poté hledáme překážky s maximálním činitelem zastínění z každé strany od dominantního vrcholu. Takto se postupuje do té doby, když do výpočtu nezahrneme všechny překážky. V praxi se nejčastěji uvažují pouze tři vrcholy s maximálním  $\nu$ . Deygoutova metoda je ze všech čtyř metod nejčastěji používána. Ve většině případů ztráty nadhodnocuje. Například v případě velkého počtu překážek. [1][4]



Obr. 3.4: Deygoutova metoda.

### 3.2.2 Bullingtonova metoda

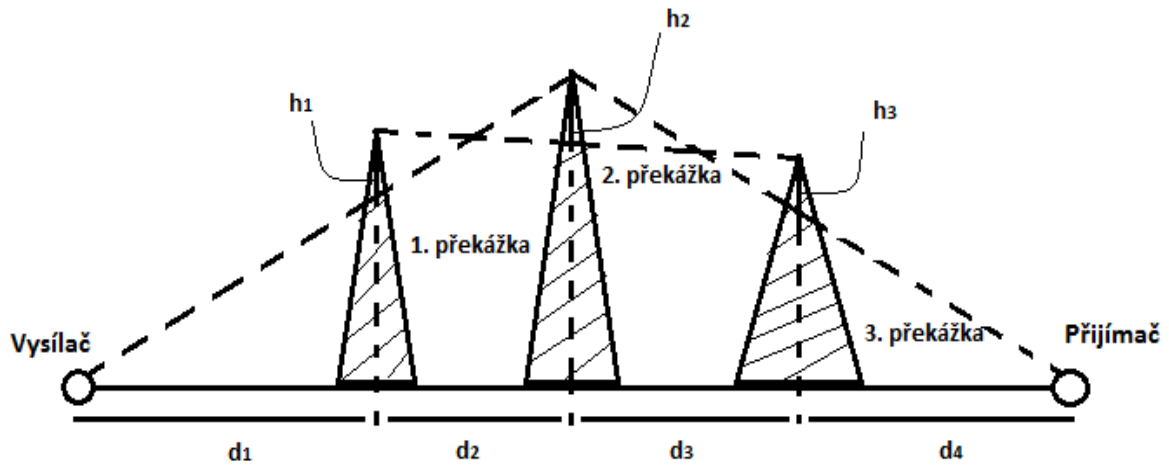
V této metodě celý reálný terén je nahrazen jednou virtuální překážkou v bodě průsečíku tečen vytnutých z míst přijímače a vysílače k překážkám, viz Obr. 3.5. Difrakční ztráty jsou potom spočtené dosažením parametru zastínění, který vypočítáme použitím polohy a výšky virtuální překážky (2.1), do vztahu (2.4), viz kapitola 2.4. Výhodou Bullingtonovy metody je jednoduchost, ale může docházet k zanedbání důležitých překážek ležících pod tečnou vysílač-překážka nebo přijímač-překážka. Proto se tato aproximační metoda nejvíc používá v případě, že máme jednu ryze dominantní překážku. Tedy obecně se dá říci, že metoda produkuje optimistické výsledky a ve většině případů útlum podhodnocuje. [1][4]



Obr. 3.5: Bullingtonova metoda.

### 3.2.3 Epstein-Petersonova metoda

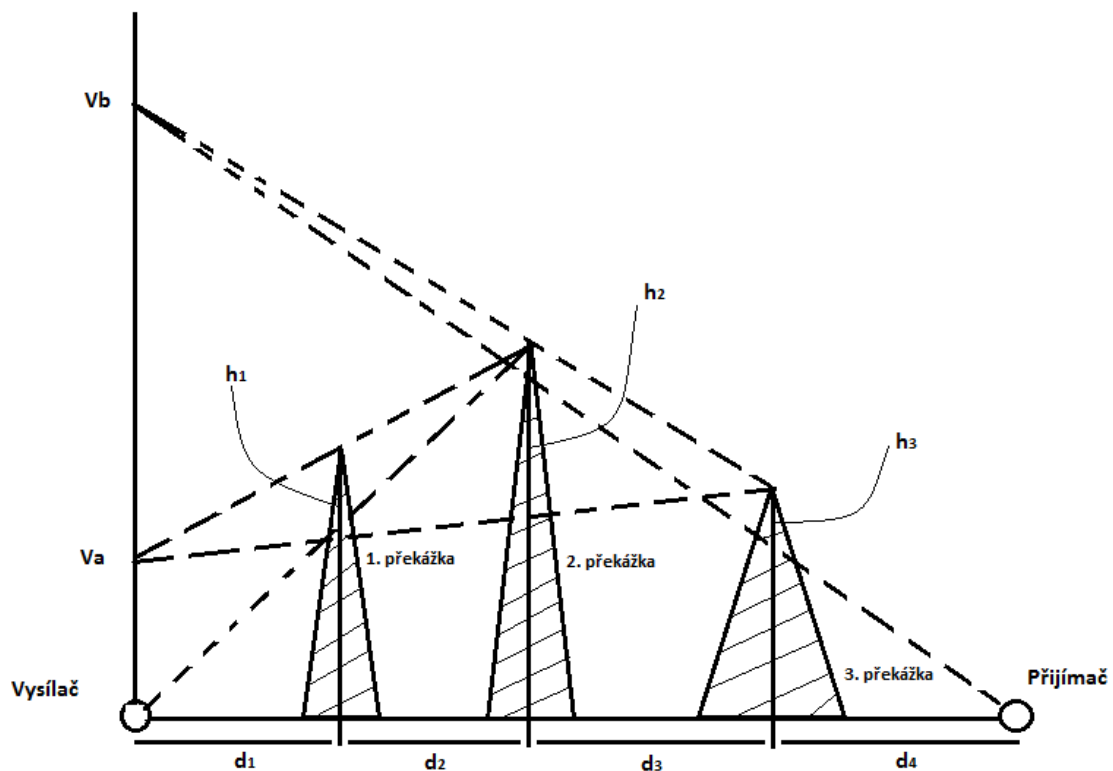
Narozdíl od Bullingtonovy metody nezanedbává důležité překážky. U této metody se počítá útlum způsobený každou překážkou a celkový útlum je součtem ztrát na jednotlivých ostrých překážkách, viz Obr. 3.6. Metoda vykazuje velké chyby v případě, že dvě překážky jsou k sobě velmi blízko. Dále je výpočet Epstein-Petersonovy metody obtížný pro členité pohoří. Obecně metoda dosahuje přesnějších výsledků než Bullingtonova metoda, ale stále ve většině případů útlum podhodnocuje. [4]



Obr. 3.6: Epstein-Petersonova metoda.

### 3.2.4 Japonská metoda

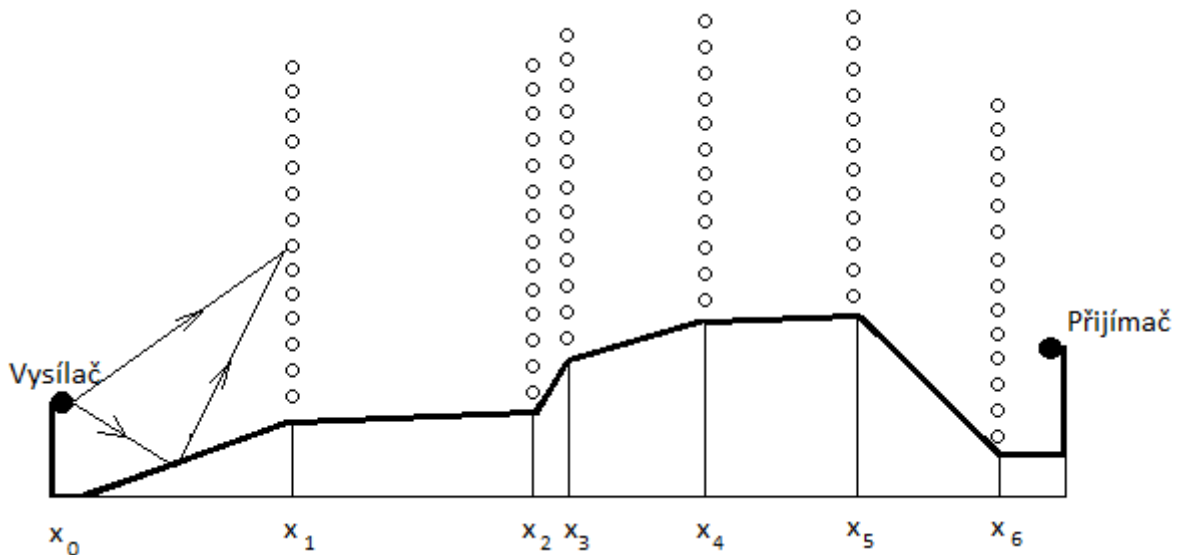
Japonská metoda, viz. Obr. 3.7, má podobný koncept jako Epstein-Petersonova metoda a dosahuje výsledků téměř stejné přesnosti. Rozdíl spočívá v tom, že při výpočtu útlumu pro daný vrchol se jako efektivní vysílač neuvazuje vrchol předchozí překážky, ale průsečík přímky, která spojuje daný a předchozí vrcholy, s rovinou ve které leží přijímač. Dále se pro výpočet převýšení každé překážky postupuje stejným způsobem jako v kapitole 3.2.3. [1]



Obr. 3.7: Japonská metoda

### 3.3 Fyzikální optika

Fyzikální optika je založená na Huygensově principu, viz kapitola 2.1. Nejdůležitějším podkaldem k výpočtu je profil terénu, který představuje funkci nadmořské výšky v závislosti na vzdálenosti  $x_0, x_1, x_2, \dots$ , od přijímače. Předpokládáme, že jednotlivé body jsou spojené přímkami, viz *Obr. 3.8*:



*Obr. 3.8: Rozdělení profilu terénu pro výpočet pomocí metody Fyzikální optiky.*

Pro vlnoplochu v bodě  $x_1$  platí:

$$E(x_1, z_1) = E_0 \frac{e^{-jkr}}{r} \quad (3.17)$$

kde  $k$  - vlnové číslo, které je definováno vztahem :

$$k = \frac{2\pi}{\lambda} \quad (3.18)$$

Dle kapitoly 2.1. každý bod nad povrchem terénu ve vzdálenosti  $x_1$  je zdrojem vlnění a podělí se na intenzitě pole ve vzdálenosti  $x_2$ . Z tohoto plyne, že velikost intenzity jako funkce výšky v bodě  $x_2$  bez ohledu na odraženou vlnu má tvar:

$$E(x_2, z_2) = \sqrt{\frac{kx_1}{2\pi j x_2 (x_2 - x_1)}} \int_{h_1}^{\infty} E(x_1, z_1) e^{-jkr} dz_1 \quad (3.19)$$

A tedy obecný vztah:

$$E(x_n, z_n) = \sqrt{\frac{kx_{n-1}}{2\pi jx_n(x_n - x_{n-1})}} \int_{h_1}^{\infty} E(x_{n-1}, z_{n-1}) e^{-jkr} dz \quad (3.20)$$

Integrál je vhodné za účelem budoucí účinné implementaci do prostředí Matlab přepsat na sumu:

$$E(x_2, z_2) = \sqrt{\frac{kx_1}{2\pi jx_2(x_2 - x_1)}} \sum_{h_1}^{h_{max}} E(x_1, z_1) e^{-jkr} dz \quad (3.21)$$

kde  $dz$  je odstup dvou diskrétních bodů, ve kterých se provádí výpočet intenzity pole a  $h_{max}$  je výška na které se pole dá považovat za zanedbatelné.

Pro zvýšení přesnosti metody je nezbytné uvažovat i odraz od terénního povrchu. Po modifikaci (3.21) přidáním odražené vlny dostaneme:

$$E(x_n, z_n) = \sqrt{\frac{kx_{n-1}}{2\pi jx_n(x_n - x_{n-1})}} \left( \int_{h_1}^{\infty} E(x_{n-1}, z_{n-1}) e^{-jkr} dz + \int_{h_1}^{\infty} E(x_{n-1}, z_{n-1}) R e^{-jkr_R} dz \right) \quad (3.22)$$

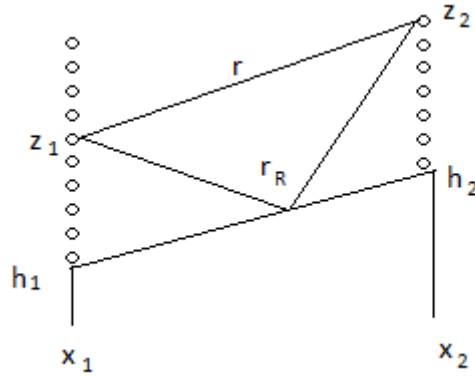
kde význam veličin  $r$  a  $r_R$  je patrný z Obr. a  $R$  je činitel odrazu.

$$R = \frac{\sin \varphi - X}{\sin \varphi + X} \quad (3.23)$$

$$X_{vert} = \frac{\sqrt{\varepsilon_r - \cos^2 \varphi}}{\varepsilon_r} \quad (3.24)$$

$$X_{hor} = \sqrt{\varepsilon_r - \cos^2 \varphi} \quad (3.25)$$

kde  $\varepsilon_r$  je reálná permitivita povrchu terénu.



Obr.3.9: Znáornění výpočtu  $r$  a  $r_R$

### 3.4 Porovnání s UTD

Pro porovnání s UTD byl použit příklad z Obr. 3.10. Ve vzdálenosti 300 metrů od vysílače byla umístěna britová překážka. Výška vysílače je stejná jako výška překážky a je rovna 20 metrů.

V bodě  $x_4$  se nachází přijímač s proměnnou délkou. Parametr  $dz$  byl stanoven na hodnotu  $\frac{\lambda}{8}$  a parametr  $h_{max}$  na hodnotu 60 metrů. Volba  $dz$  musí být taková, aby rozdíl velikostí intenzit v sousedních bodech byl minimální. Hodnota frekvence byla zvolena v UHF pásmu  $f = 1\text{GHz}$ .  $E_0 = 1\text{ V/m}$ . Simulace se provedla pro vertikální polarizaci vlny.

Jelikož v poloze  $x_1$  se jedná o pole způsobené bodovým zdrojem pro výpočet intenzity platí vztah:

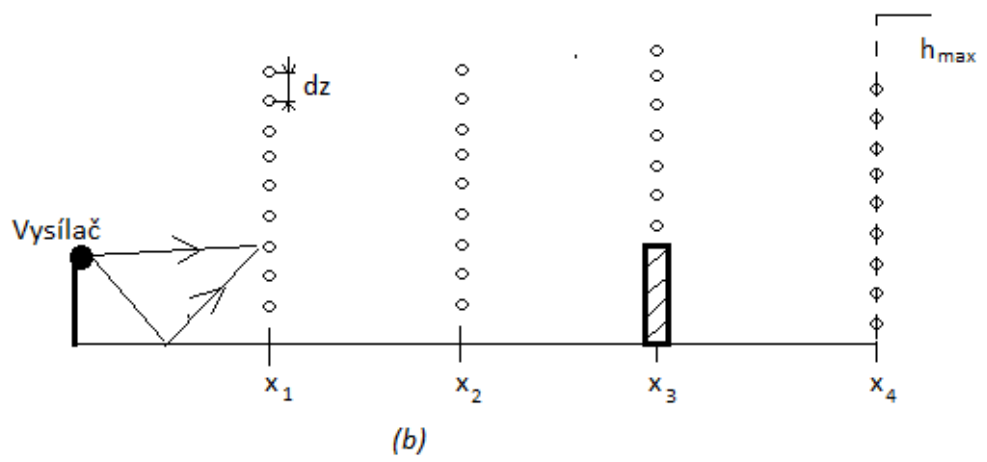
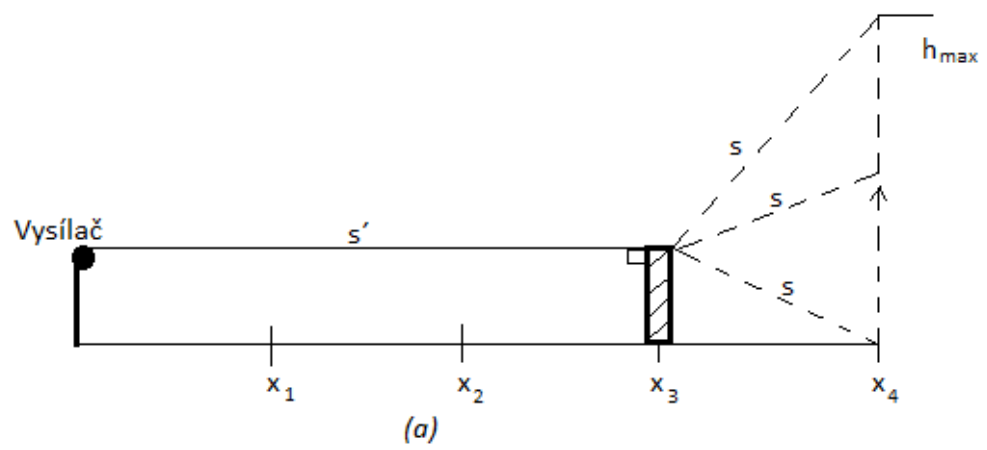
$$E(x_1, z_1) = E_0 \frac{e^{-jkr}}{r} + E_0 R \frac{e^{-jkr_R}}{r_R} \quad (3.26)$$

Výpočet ve všech zbylých bodech provedeme pomocí (3.22).

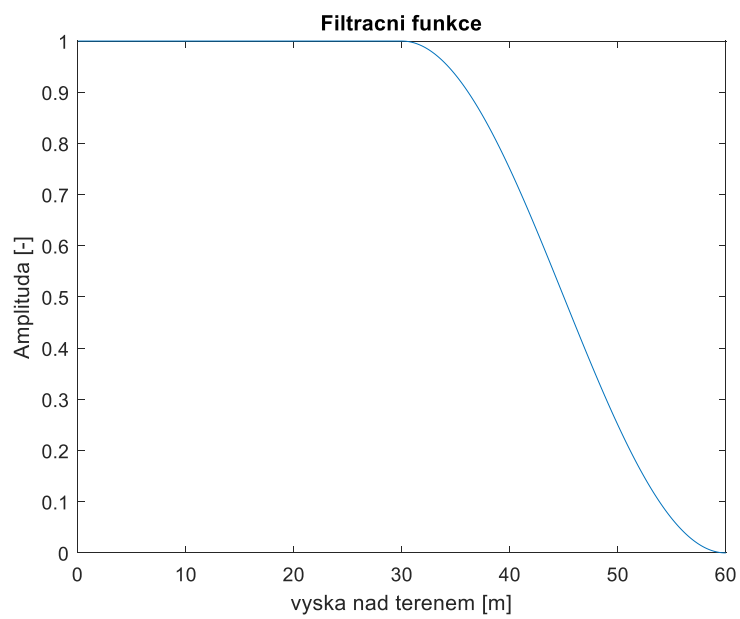
Musíme vzít v úvahu to, že při transformaci vztahu (3.20) do (3.21) ignorujeme všechny hodnoty intenzity pole ležící nad výškou  $h_{max}$ . Tuto skutečnost je nutné korigovat, což provedeme vynásobením vektoru intenzity v každém bodě  $x_n$  tzv. filtrační funkcí, viz. Obr 3.11, kterou můžeme popsat následovně:

$$filter = 1, \text{ pro } h \in \left(0, \frac{h_{max}}{2}\right) \quad (3.27)$$

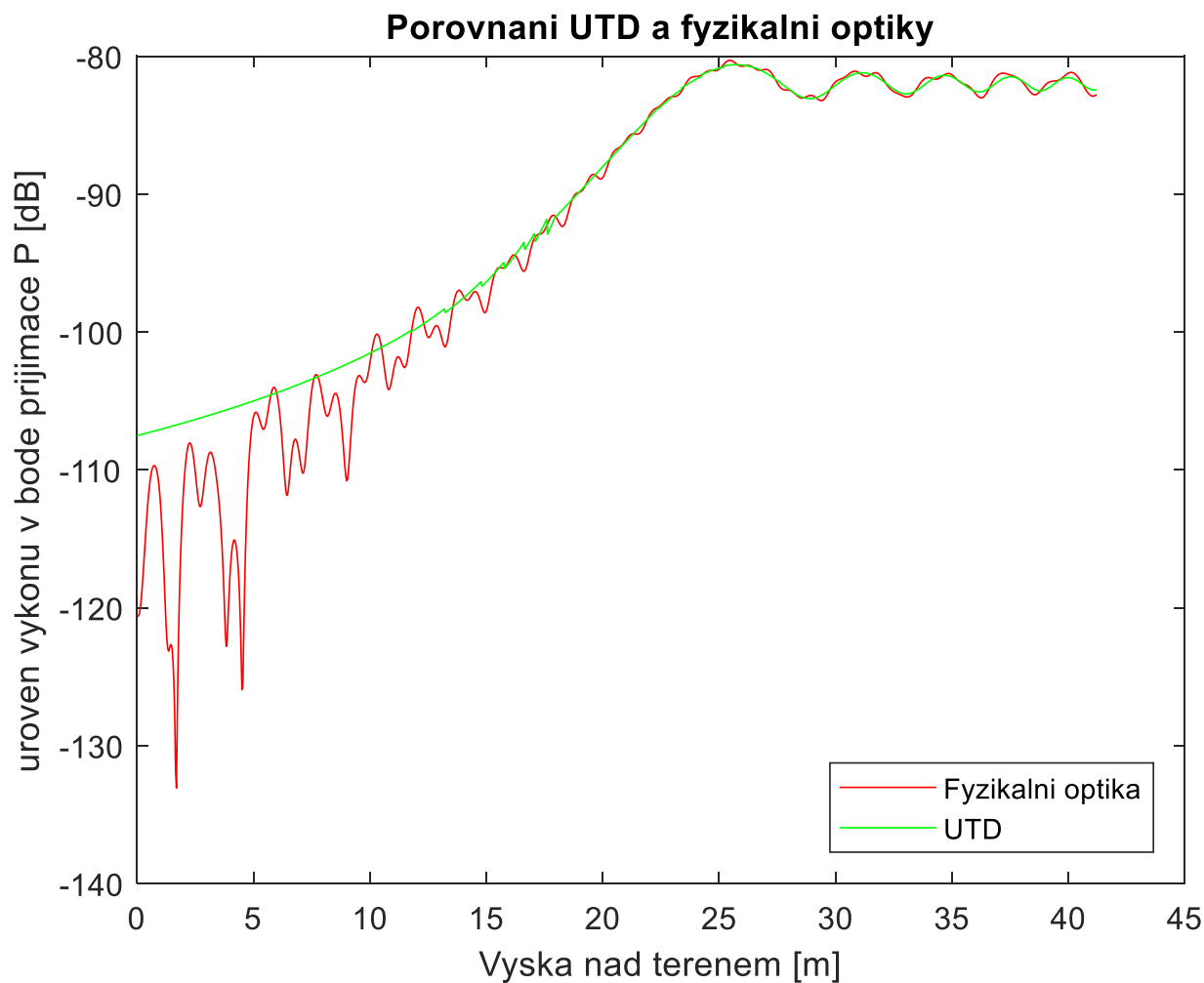
$$filter = \frac{1 + \cos(\pi t)}{2}, \text{ pro } h \in \left(0, \frac{h_{max}}{2}\right) \quad (3.28)$$



Obr. 3.10: Příklad pro porovnání Fyzikální optiky a UTD.



Obr.3.11: Filtrační funkce.



Obr.3.12: Porovnání UTD a Fyzikální optiky.

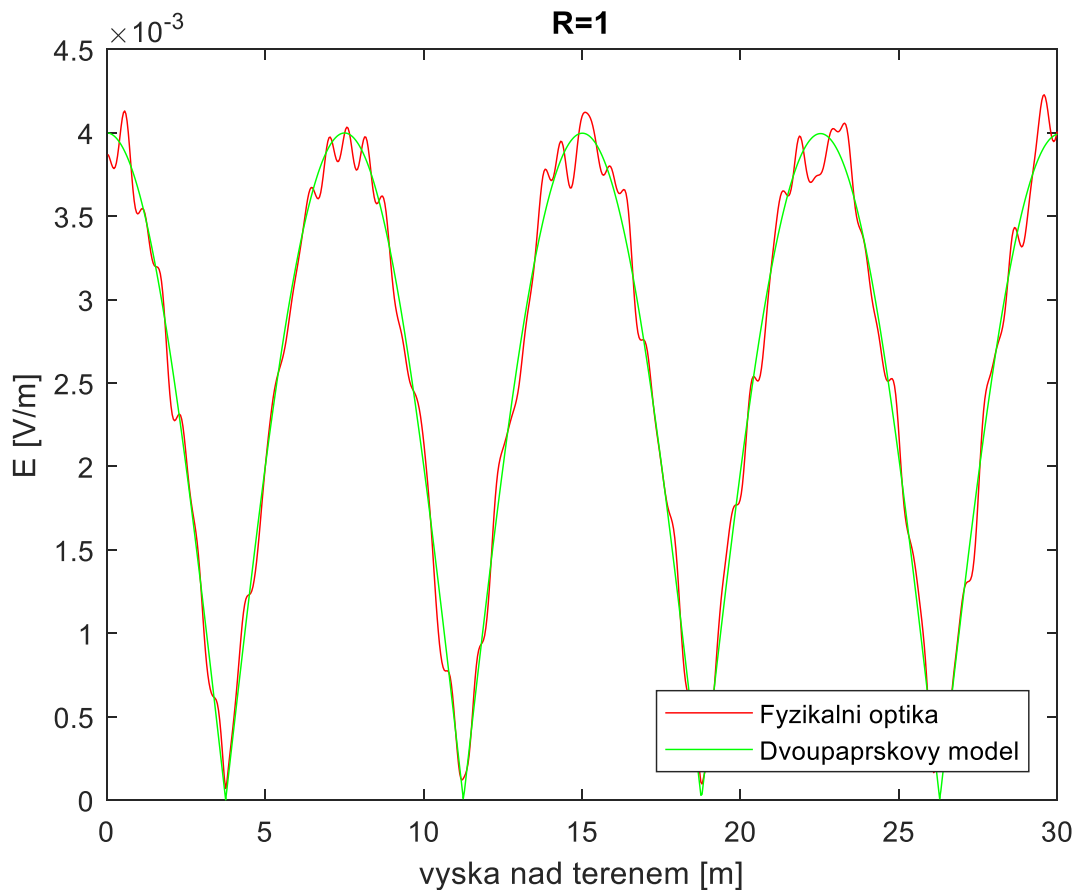
Z Obr.3.12 je patrné, že metoda fyzikální optiky velmi přesně predikuje hodnotu úrovně výkonu v poloze přijímače. Zvlnění pro zápornou hodnotu míry zastínění odpovídá teoretickému předpokladu. Pro výšku přijímače rovnou 20 metru odpovídá úroveň výkonu o 6 dB menší než střední hodnota zvlnění, což odpovídá poloviční intenzitě.



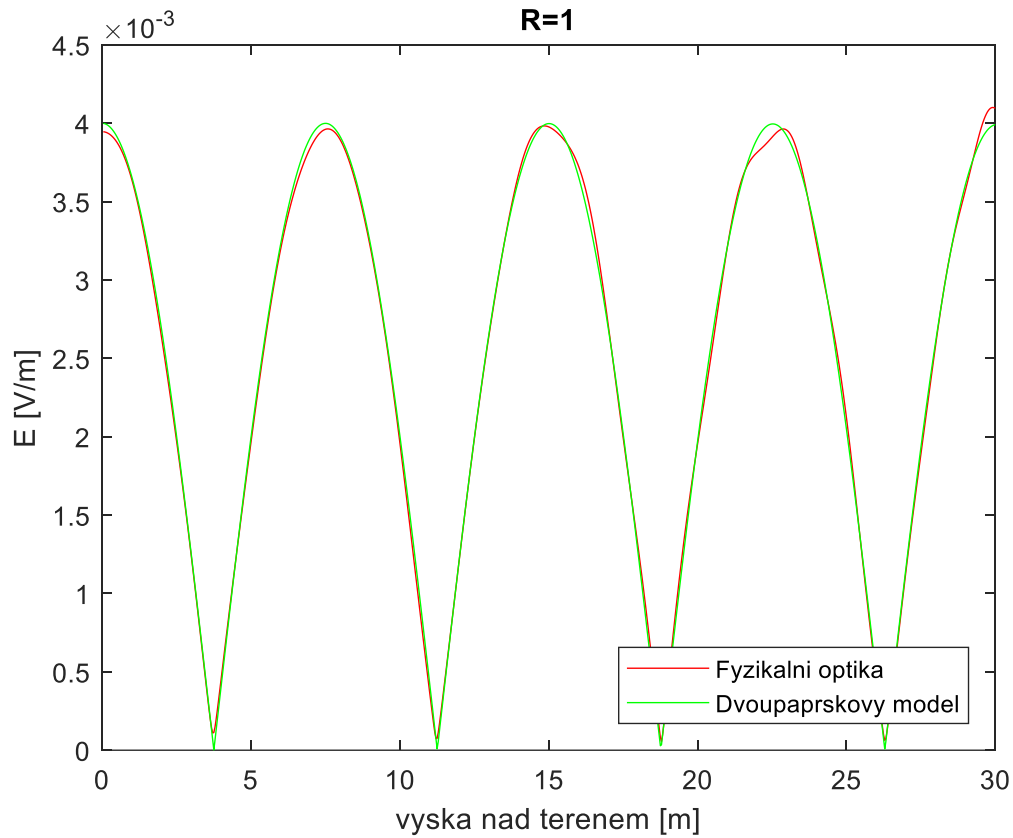
### 3.5 Porovnání s dvoupruskovým modelem

Situace je ilustrovaná na *Obr.2.7*. Výpočet intenzity v závislosti na výšce provedeme v pěti stejně od sebe vzdálených bodech. Vzdálenost vysílač – přijímač je 500 metrů, ostatní parametry jsou stejné jako v předchozím případě. Výpočet provedeme pro obecný činitel odrazu a pro ideální odraz, tj.  $R = 1$ . Pro korekci opět použijeme filtrační funkci.

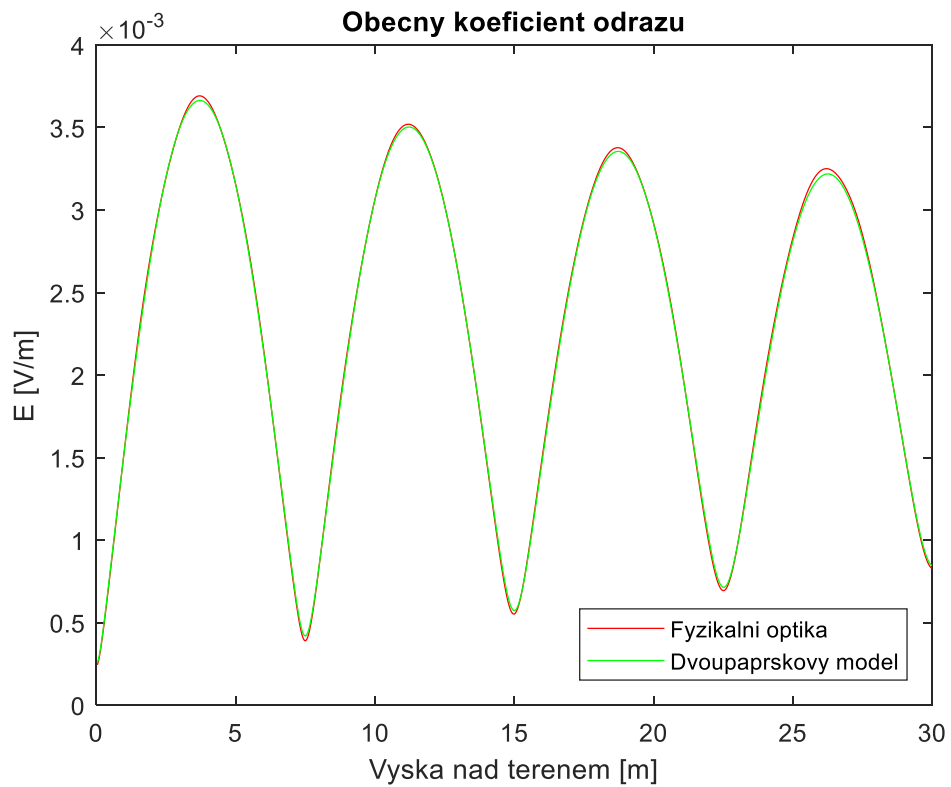
Z *Obr. 3.13* a *Obr. 3.14* je patrné, že použitím korekci výslednou funkci vyhladíme a tím zvýšíme přesnost metody.



*Obr.3.13: Porovnání Fyzikální optiky a dvoupruskového modelu.  $R = 1$ . Bez korekci aproximační funkcí.*



Obr.3.14: Porovnání Fyzikální optiky a dvoupraskového modelu.  $R = 1$ . Včetně korekci.



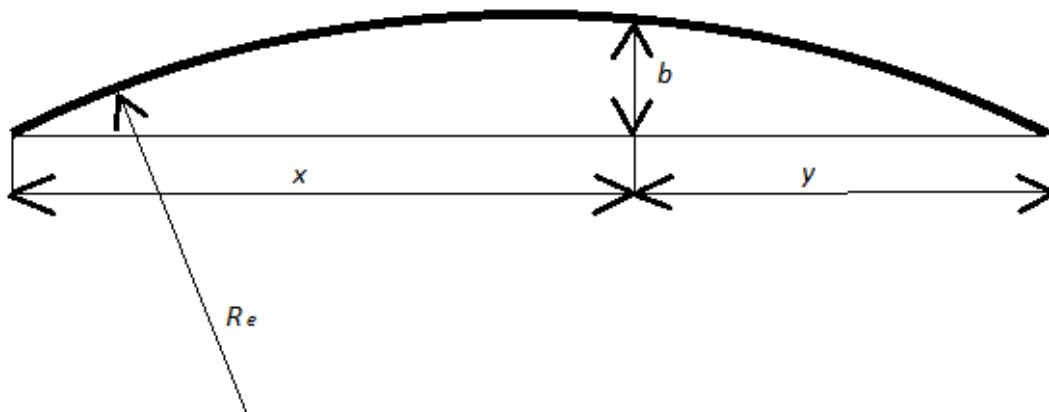
Obr.3.15: Porovnání Fyzikální optiky a dvoupraskového modelu. Obecné R. Včetně korekci.

### 3.6 Porovnání s měřením

Poslední porovnání je v této práci provedeno s experimentálně naměřenými hodnotami při šíření vlny nad reálným terénem. K dispozici byl profil terénu, který je reprezentován závislostí nadmořské výšky na vzdálenosti od vysílače, naměřenými hodnotami difrakčního útlumu a gradientem refraktivity v závislosti na výšce antény.

Jelikož se jednalo o přibližně 18 km dlouhý terén změřený ve 186 bodech bylo nezbytné navrhnout aproximaci terénu. Hlavním důvodem je časová náročnost způsobená velkým počtem diskretních bodů ve kterých by musela kalkulace proběhnout. Byla použita aproximace po sedmi bodech, která zachovává tvar terénu a zahrnuje výšky všech dominantních vrcholů terénu.

Parametr  $dz$  byl opět stanoven na hodnotu  $\frac{\lambda}{8}$  a parametr  $h_{max}$  na hodnotu 350 metrů, což zhruba odpovídá přičtení dvojnásobku rozdílu maximální a minimální výšky k výšce vrcholu s největším činitelem zastínění.



Obr. 3.16: Výpočet efektivního poloměru Země.

Kromě korekci výpočtu uvedené v kapitole 3.5 použijeme další, která bude uvažovat křivočaré šíření vlny nad zakřivenou zemi. Problematika je znázorněná na Obr. 3.16.

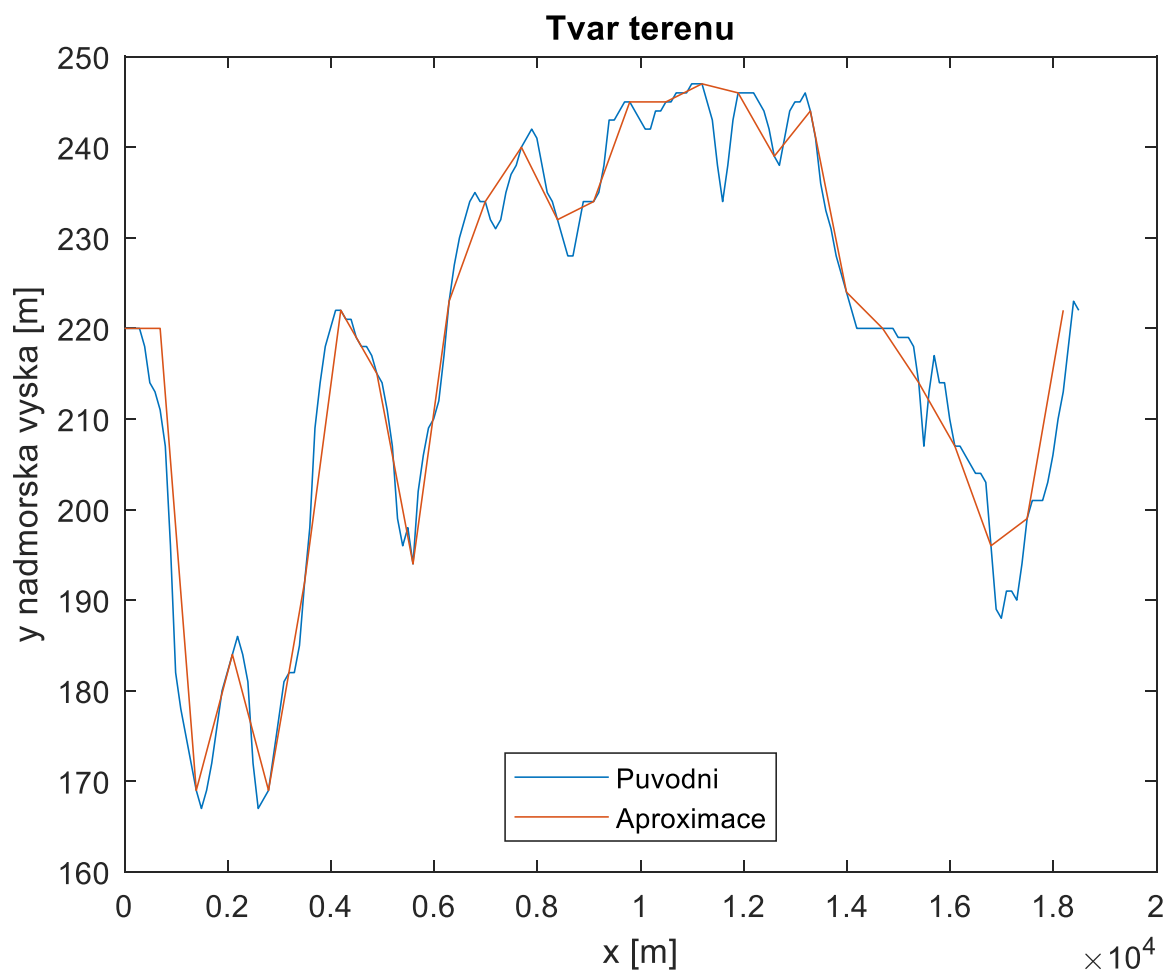
Nejdřív pomocí naměřených hodnot gradientu refraktivity určíme efektivní poloměr země. Následně vypočteme navýšení  $b$  v každém bodě terénu a posléze upravíme původní příslušnou nadmořskou výšku.

$$R_e = k_e R_z \quad (3.29)$$

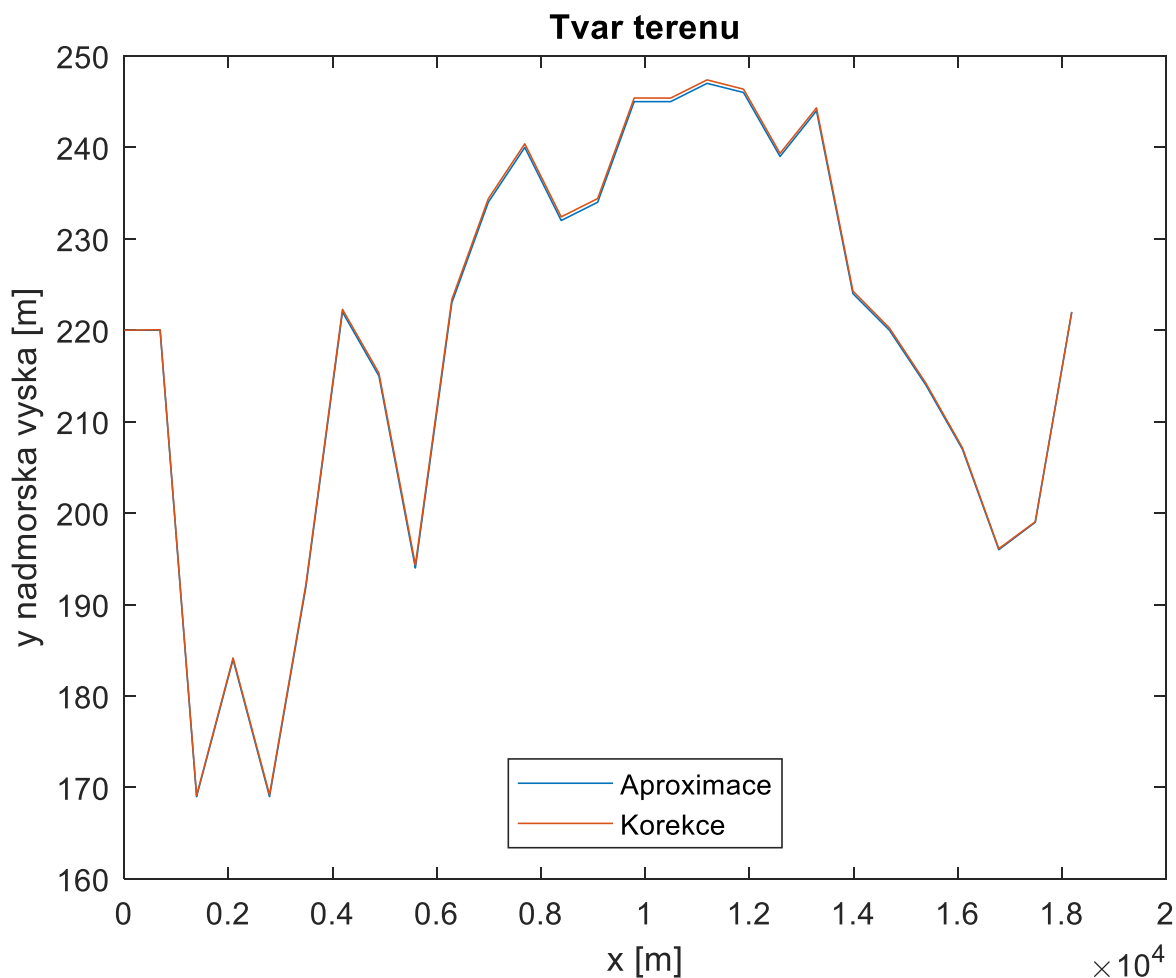
$$k_e = \frac{1}{1 + R_z \frac{dN}{dh} 10^{-6}} \quad (3.30)$$

$$b = \frac{xy}{2R_e} \quad (3.31)$$

kde  $R_e$  – efektivní poloměr země,  $R_z$  – poloměr země,  $\frac{dN}{dh}$  - gradient refraktivity a  $k_e$  – činitel atmosférické refrakce. Význam veličin  $x$  a  $y$  je patrný z Obr. 3.16.



Obr. 3.17: Aproximace terénu.



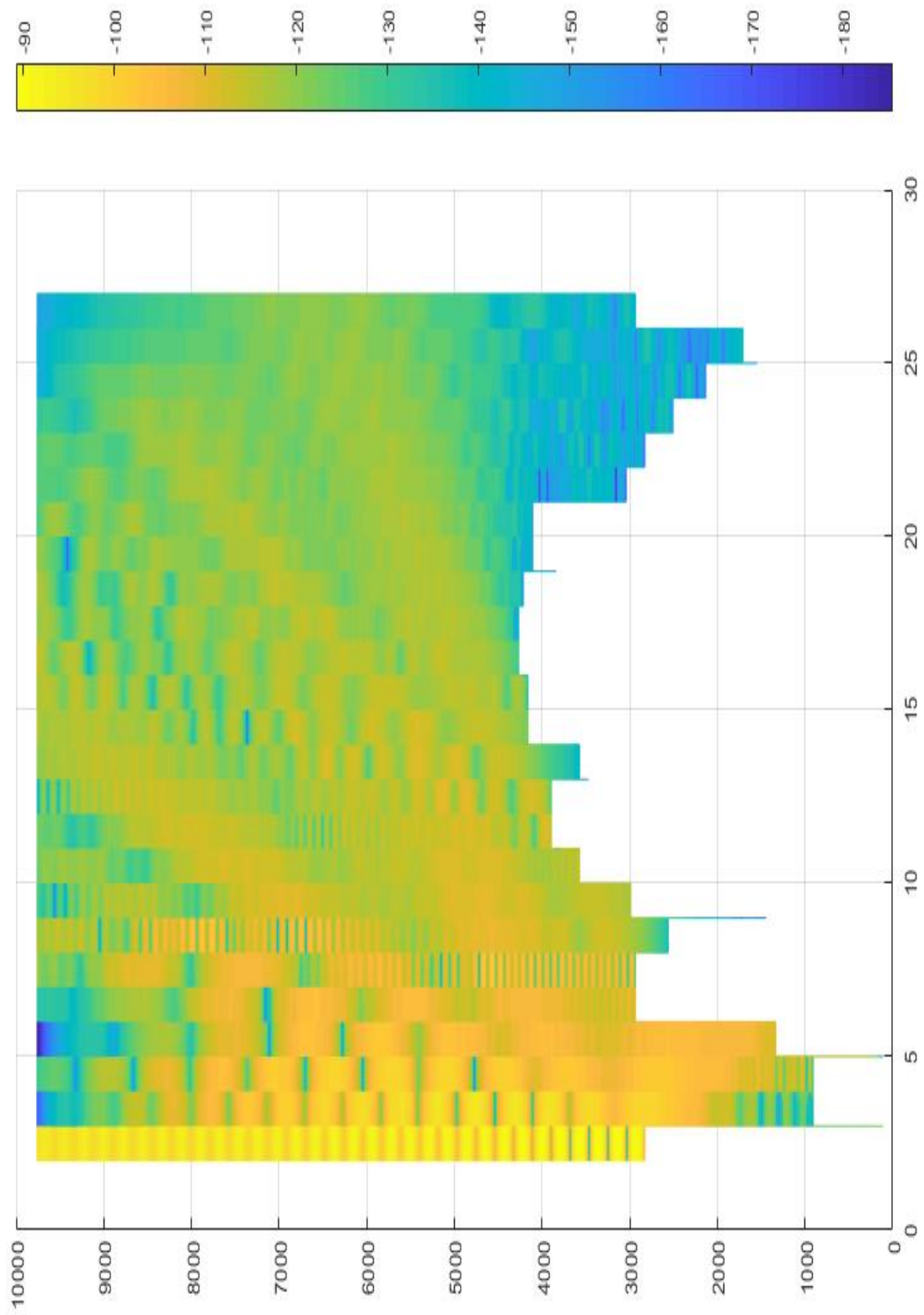
Obr. 3.18: Vliv gradientu refraktivity na tvar terénního profilu.

Maximální změna výšky terénního profilu pro gradient refraktivity  $\frac{dN}{dh} = -7$  je roven 0,5 metrů, což činí 2,8% od největší výšky. Vliv gradientu refraktivity lze pro dané měření považovat za téměř zanedbatelný.

Doba počítání metodou fyzikální optiky pro aproximovaný terén činila téměř 30 minut, viz Obr.. V případě UTD a Deygout metody pro stejný terén doba počítání je téměř desetkrát kratší.

Jelikož se jednalo o trén s neznámou relativní permitivitou,  $\epsilon_r$  byla stanovena na hodnotu 10 dle [11] jako hlnitá půda pro  $f = 2$  Ghz.

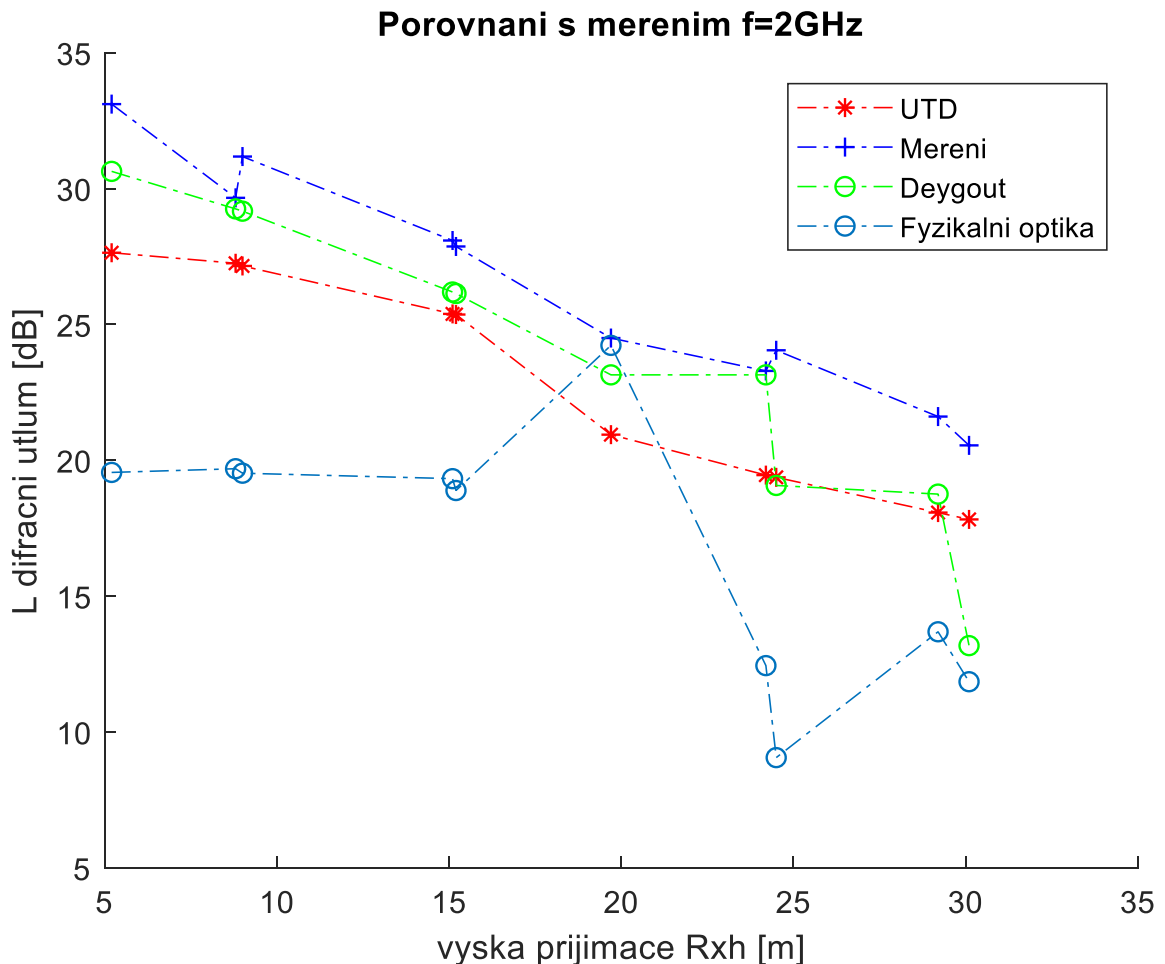
Výhodou fyzikální optiky je to, že daná metoda umožňuje výpočet pro jakýkoliv profil terénu bez nutnosti měnit zdrojový kód. Také umožňuje vzít v úvahu přítomnost zástavby nebo lesu a parametry terénu jako relativní vodivost a relativní permitivita.



Obr. 3.19: Rozložení úrovně výkonu nad terénem.

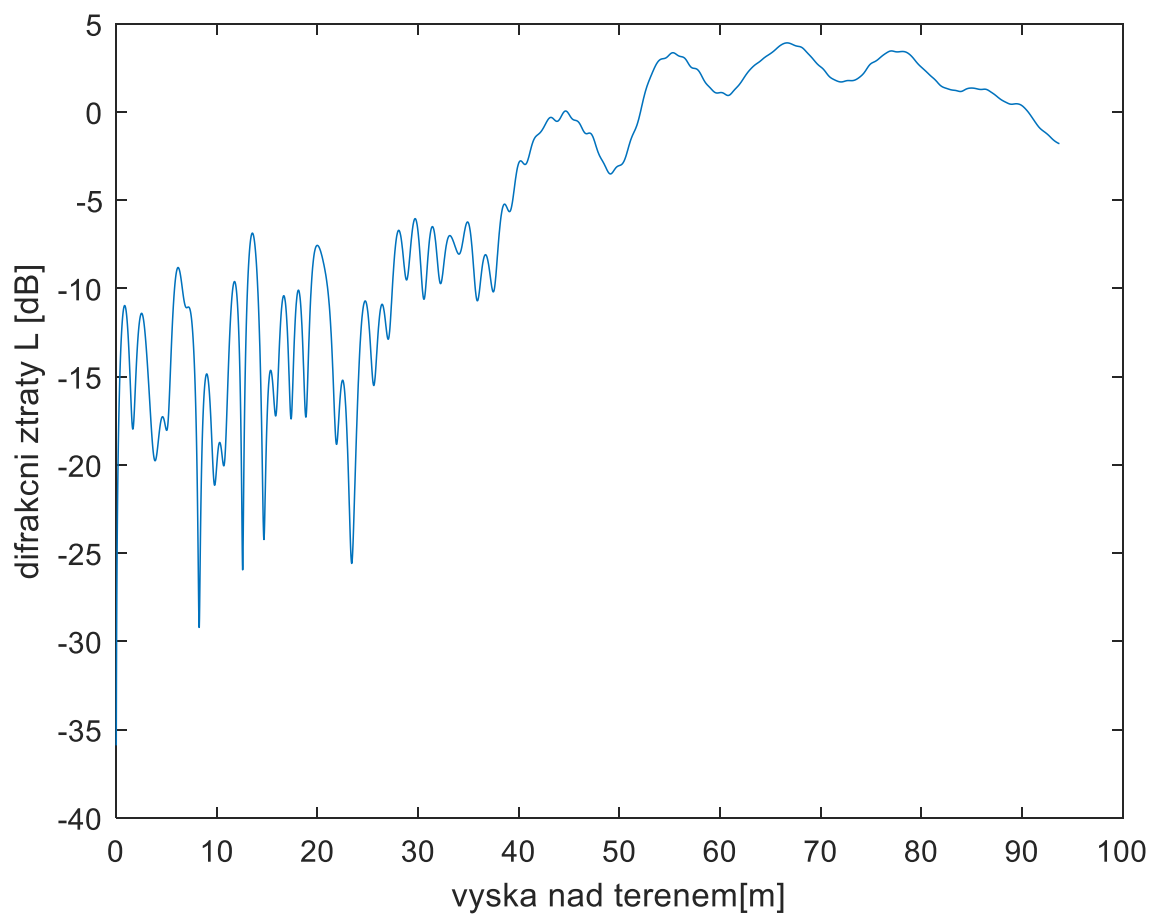
Na Obr. 3.19 je znázorněno rozložení úrovně výkonu nad terénem. Hodnoty na ose y odpovídají počtu kroků  $dz$ , na ose x – pořadí vlnplochy.

Na Obr. 3.22 vidíme tečnu sestavenou z polohy vysílače k vrcholu s největším činitelem zastínění, která reprezentuje přímou vlnu. Směrem k vyšším výškám od tečny intenzita stoupá a pod ní naopak všude klesá, což odpovídá předpokladu.

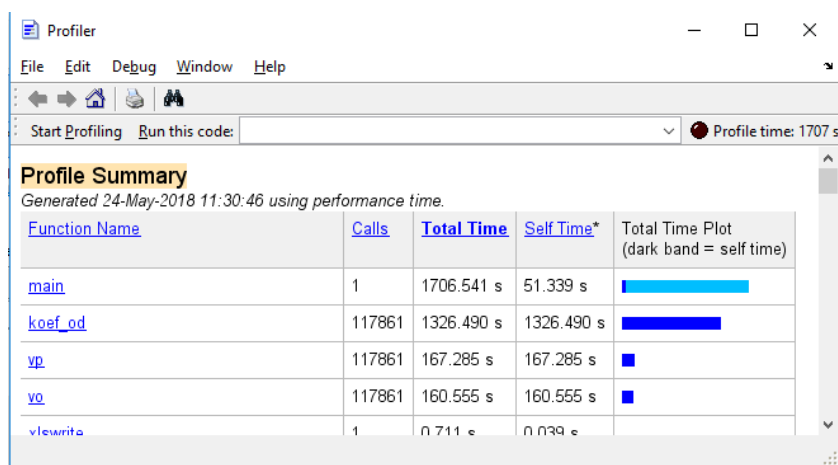


Obr. 3.20: Difrakční útlum v poloze přijímače.

Z Obr. 3.20 je patrné, že průběh difrakčního útlumu spočtený pomocí metody fyzikální optiky v poloze přijímače má v některých bodech velkou odchylku od naměřeného průběhu. Důvod můžeme pozorovat na Obr. 3.21. Podmínka přímé viditelnosti mezi vysílačem a přijímačem je splněna pro výšku přijímače přibližně 40 metrů. V době než nastane tato podmínka difrakční ztráty nerovnoměrně oscilují v rozmezí hodnot -35 až -7 dB.



Obr. 3.21: Difrakční útlum v poloze přijímače.



Obr. 3.22: Časová náročnost.



## 4 Závěr

Cílem mé práce bylo seznámit se s různými metodami pro výpočet vícenásobné difrakce, implementovat do prostředí MATLAB metodu fyzikální optiky a následně provést porovnání všech metod s ohledem na odraz a gradient refraktivity.

V první kapitole jsem popsal základní vlastnosti a parametry potřebné pro výpočet difrakčního útlumu. Přiblížil jsem model dvoupaprskového šíření vlny. Také jsem zde vypracoval přehled metod pro výpočet vícenásobné difrakce, kde jsem uvedl nejdůležitější vztahy pro výpočet, volbu konkrétních parametrů a aplikace každé metody pro použití v reálném světě.

V praktické části jsem implementoval popsané metody do prostředí MATLAB následně jsem je porovnal z hlediska přesnosti a časové náročnosti.

## 5 Seznam použité literatury

- [1] P. Pechač, S. Zvánovec, „*Základy šíření vln pro plánování pozemních rádiových spojů*“, Praha: BEN – technická literatura, 2007.
- [2] L.W. Barclay, “*Propagation of Radiowaves*”, London: IEE Press, 2003, 2<sup>nd</sup> Ed.
- [3] C. A. Balanis, *Advanced engineering Electromagnetics*, Wiley, 1989.
- [4] J.D. PARSONS, *The Mobile Radio Propagation Channel. Second Edition*, USA, 2000, John Wiley & Sons Ltd. ISBN 0-471-98857-X.
- [5] R.G. Kouyoumjian and P.H. Pathak, “*A uniform geometrical theory of diffraction for an edge in a perfectly conducting surface*”, Proc. IEEE, pp. 1448-1461, Nov. 1974.
- [6] ITU, Recommendation ITU-R P.526-13, UIT, Geneva, 2013.
- [7] ITU, Recommendation ITU-R P.530-12, UIT, Geneva, 2007.
- [8] R. J. LUEBBERS “*Propagation Prediction for Hilly Terrain Using GTD Wedge Diffraction*”, IEEE transactions on Antennas and Propagation, Vol. AP-32, No. 9, September 1984.
- [9] W.C. Jakes, *Microwave Mobile Communications*. New York: IEEE Press, 1974.
- [10] J.H. Whitteker, “*Physical Optics and Field-Strength Predictions for Wireless Systems*”, IEEE Journal on selected areas in communications, VOL. 20, NO.3, April 2002
- [11] ITU, Recommendation ITU-R P.527-4, UIT, Geneva, 2017

## 6 Seznam obrázků

- Obr. 2.1 : Huygensův princip a difrakce na ostrém břítu.*
- Obr. 2.2 : Fresnelův elipsoid.*
- Obr. 2.3: Geometrie pro řešení difrakci na ostré překážce.*
- Obr. 2.4 : Překážka je pod spojnicí vysílač – přijímač.*
- Obr. 2.5 : Cornuova spirála.*
- Obr. 2.6 : Aproximační závislost.*
- Obr. 2.7 : Pozemní dvou-paprskový model.*
- Obr.3.1 : Uniformní teorie difrakce*
- Obr. 3.2: Útlum difrakcí v závislosti na činitele zastínění. Porovnání UTD a (1.4)*
- Obr. 3.3: Použití UTD pro výpočet terénní difrakci.*
- Obr. 3.4: Deygoutova metoda.*
- Obr. 3.5: Bullingtonova metoda.*
- Obr. 3.6: Epstein-Petersonova metoda.*
- Obr. 3.7: Japosnká metoda*
- Obr. 3.8: Rozdělení profilu terénu pro výpočet pomocí metody Fyzikální optiky.*
- Obr.3.9: Znáznornění výpočtu  $r$  a  $r_R$*
- Obr. 3.10: Příklad pro porovnání Fyzikální optiky a UTD.*
- Obr.3.11: Filtrační funkce.*
- Obr.3.12: Porovnání UTD a Fyzikální optiky.*
- Obr.3.13: Porovnání Fyzikální optiky a dvoupraprskového modelu.  $R = 1$ . Bez korekci aproximační funkcí.*
- Obr.3.14: Porovnání Fyzikální optiky a dvoupraprskového modelu.  $R = 1$ . Včetně korekci.*
- Obr.3.15: Porovnání Fyzikální optiky a dvoupraprskového modelu. Obecné  $R$ . Včetně korekci.*
- Obr. 3.16: Výpočet efektivního poloměru Země.*
- Obr. 3.17: Aproximace terénu.*
- Obr. 3.18: Vliv gradientu refraktivity na tvar terénního profilu.*
- Obr. 3.19: Rozložení úrovně výkonu nad terénem.*
- Obr. 3.20: Difrakční útlum v poloze přijímače.*
- Obr. 3.21: Difrakční útlum v poloze přijímače.*
- Obr. 3.22: Časová náročnost.*